論 文

地盤沈下の予測理論と実際

―施工に伴う荷重や変位の履歴による地盤応答―

Behavior of Soil Deposits under Different Loading and Displacement Histories

飯 塚 敦(いいづか あつし) 神戸大学工学部建設学科 助教授

宮 田 喜 壽(みやた よしひさ) 防衛大学校システム工学群 講師

村 上 章(むらかみ あきら) 岡山大学大学院自然科学研究科 教授

中角 功 (なかすみ いさお)不動建設㈱ジオ・エンジニアリング課長本部

1. はじめに

「施工過程を考慮した地盤の変形・破壊予測」とは,施工という荷重や変位の作用によって地盤がどのような力学応答を示すかを予測することを指す。とりわけ,「施工過程を考慮する」時には,荷重や変位の作用の順番や増分変化の違いによって,地盤の示す力学応答に違いが現れることが前提となっている。このように荷重や変位の履歴によって地盤の力学応答が異なるのは,どのような理論的なフレームワークによるものなのか,本稿で考えてみたい。

2. 応力・変形問題の記述

載荷による地盤の変形は、通常、ニュートン力学によ って記述される。施工過程に伴う荷重や変位の作用によ る地盤応答を見いだすことは、釣合いを満たす「釣合い 系」(ばねとおもりが釣合う場合に相当)と,変形を記 述する「適合系」(おもりの変位とばねの伸縮みの関係 に相当)の中から、両者を満足する解を見つけ出すこと を意味する。図―1に「釣合い系」と「適合系」をまと めた。ここに、 \bar{t}_i は物体の境界に作用する外荷重ベクト ルのi成分、 f_i は重力などによって物体の内部全体にわ たって作用する物体力ベクトルのi成分, σ_{ii} は物体内 に作用している応力の(i,j)成分 n_i は \bar{t}_i が作用して いる境界にたてた法線ベクトルのi成分, e_i は物体の任 意点における変位ベクトルのi成分、 ϵ_{ii} は物体の任意点 におけるひずみの(i,j)成分である。また、物体の内 部全体をV,物体の境界(外側表面)をS,この内、外 荷重ベクトルが作用している部分を St, 変位ベクトル が既知である部分を S_u と表している。頭の「は既知量 であることを意味しており,「施工過程」は外荷重ベク トルと境界(の一部)における変位の時間に伴う変化と して表現される。

釣合い系では、六つの独立な応力成分 σ_{ij} が、三つの 釣合い式 $(\sigma_{ji,j}+f_i=0)$ を満足し、応力境界 S_t で外荷重 ベクトル \bar{t}_i と釣合っている $(\bar{t}_i=\sigma_{ji}n_j)$ 。このような応力 成分の組は無数にありうる。一方、適合系では、六つの 独立なひずみ ϵ_{ij} と三つの変位 u_i が、六つの独立なひず

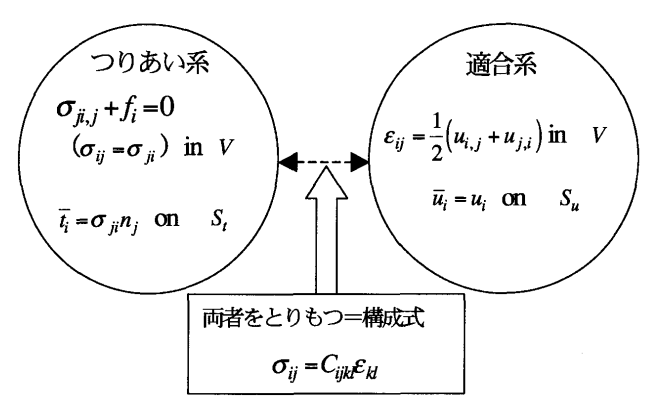


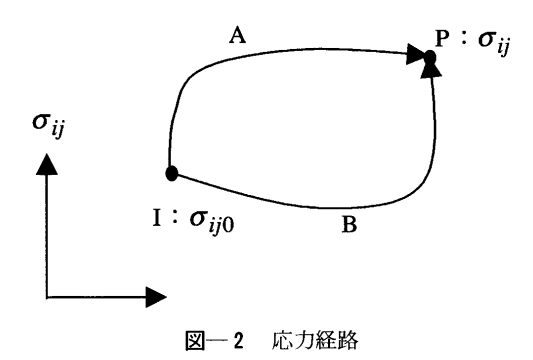
図-1 応力・変形理論の構造

みと変位の式 $(\varepsilon_{ii} = (u_{i,i} + u_{i,i})/2)$ を満足し,変位境界 S。で変位が既知である。このようなひずみと変位の組 はこれまた無数にありうる。互いにその成分が無数に存 在しうる「釣合い系」と「適合系」を結びつける役割を 負っているのが構成式である。ばねでいえば、ばねの伸 縮みと内力との関係を記述して、初めてそのおもりの重 さで、ばねがそれだけ伸縮みしていると言える。構成式 は応力 σ_{ii} とひずみ ε_{ii} の関係を与える式であるが、六つ の式を提供する。この構成式を得て、未知数と方程式の 数がそろい、境界条件の下で解こうとする作業が可能と なる。ここで, 釣合い式は線形であり, 増分変化の影響 を受けない。つまり、 \bar{t}_i がどのように変化して現在に至 ったかは問われない。また、ひずみと変位の式も線形で あり、変位がどのように変化して現在に至ったかには全 く影響されない。荷重履歴に影響されない「釣合い系」 と,変形履歴に影響されない「適合系」では,「施工過 程」の影響など、当然、考慮することはできない。この 役割も構成式が負わねばならないことになる。

つまり、地盤のように過去の荷重履歴、変形履歴によって、現在の応力・変形状態が変化する問題を取り扱おうとするとき、その荷重・変形履歴の影響は、地盤材料に対する依存性として、すべて構成式の中で考慮されねばならないことになる。

3. 荷重·変形履歴依存の構成式

初期(点 I) σ_{ij0} なる応力状態が最終的に(点 P) σ_{ij}



に変化する経路(応力変化 $\Delta \sigma_{ij} = \sigma_{ij} - \sigma_{ij0}$)を考える (図─2)。初期にひずみはゼロであったとして(初期点 Ⅰからひずみを測ったとして),点Ⅰからどのような経 路で点Pに至ろうとも、点Pでのひずみ発生量に違い が生じないのであれば、最終的な応力状態のみでひずみ が定まることを意味し、ポテンシャルが存在することに なる。すなわち、 $\partial \Phi/\partial \epsilon_{ii} = \Delta \sigma_{ii}$ となるポテンシャル Φ の存在が、応力履歴、ひずみ履歴に依存せずに応力とひ ずみが決まる必要十分条件となる。このようなポテンシ ャルによって応力とひずみの関係が表される材料を弾性 体(正確には超弾性体: hyper-elasticity)と呼んでいる。 二つの弾性定数(Lamé 定数の $\lambda \$ と μ ,またはヤング率 Eとポアソン比 υ) で決まる等方線形弾性体はその典型 例である。このような構成式では「施工過程に依存した 挙動」、すなわち荷重・変形履歴に依存した挙動を表す ことはできない。

次に、弾塑性体を考えてみる。ひずみゼロの初期点Iでは弾性状態にあったものが最終点Pでは弾塑性状態になっているとしよう。経路の途中で降伏する。降伏は、応力と硬化係数を引数とする降伏関数で決まる。一般に、異なる応力経路では降伏する時期が異なり、P点におけるひずみも異なる。応力経路の途中に除荷などが含まれていればなおさらである。このような構成式によって「施工過程に依存した挙動」、すなわち荷重・変形履歴に依存した挙動を表すことが可能となる。

地盤材料は、e-log p' 曲線を持ち出すまでもなく、少なくとも弾塑性的である。荷重・変形履歴に依存した挙動は地盤材料ならではの特性であり、そのため、地盤の変形・破壊の予測に施工過程の考慮が重要となる。ここでは、時間依存性をも考慮して、すなわち弾粘塑性構成理論の一つの考え方を紹介したい 10 。

まず、ひずみ増分は、可逆的なひずみ増分(弾性ひずみ増分)と時間依存性を含む非可逆的なひずみ増分(粘塑性ひずみ増分)との和であると仮定する(弾・粘塑性分解: $\hat{\epsilon}_{ii} = \hat{\epsilon}_{ii}^e + \hat{\epsilon}_{ii}^p$)。ついで降伏関数 f を定める。

内に初期配置($f(\sigma_{ij}) < 0$)をとる任意の応力サイクルを考えることができるから、Hill の最大塑性仕事式に基づき、関連流れ則を、

$$\dot{\varepsilon}_{ij}^{p} = d\lambda \frac{\partial f}{\partial \sigma_{ii}} \quad (d\lambda > 0) \cdots (2)$$

と与えることができる。負荷状態では、式(1)より、

$$\dot{f} = \frac{\partial f}{\partial \sigma_{ii}} \dot{\sigma}_{ij} + \frac{\partial f}{\partial \xi} \dot{\xi} = 0 \qquad (3)$$

を満足するので.

$$\dot{\xi} = \frac{\partial \xi}{\partial \varepsilon_{ij}} \dot{\varepsilon}_{ij}^{p} + \frac{\partial \xi}{\partial t}$$

に注意して、式(2)の塑性係数 $d\lambda$ が、

$$d\lambda = \frac{\frac{\partial f}{\partial \sigma_{ij}} \dot{\sigma}_{ij} + \frac{\partial f}{\partial \xi} \frac{\partial \xi}{\partial t}}{h} = \frac{\frac{\partial f}{\partial \sigma_{mn}} D^{e}_{mnkl} \dot{\varepsilon}_{kl} + \frac{\partial f}{\partial \xi} \frac{\partial \xi}{\partial t}}{\frac{\partial f}{\partial \sigma_{mn}} D^{e}_{mnkl} \frac{\partial f}{\partial \sigma_{kl}} + h} \qquad (4)$$

と求まる。ここに、硬化関数hは、

$$h = -\frac{\partial f}{\partial \xi} \frac{\partial \xi}{\partial \varepsilon_{ii}^{p}} \frac{\partial f}{\partial \sigma_{ij}}$$

である。

したがって、応力-ひずみ関係は、

$$\begin{split} \dot{\sigma_{ij}} &= \left[D_{ijkl}^{e} - \frac{D_{ijmn}^{e} \frac{\partial f}{\partial \sigma_{mn}} \frac{\partial f}{\partial \sigma_{pq}} D_{pqkl}^{e}}{\frac{\partial f}{\partial \sigma_{pq}} D_{pqst}^{e} \frac{\partial f}{\partial \sigma_{st}} + h} \right] \dot{\varepsilon}_{kl} \\ &- \frac{D_{ijmn}^{e} \frac{\partial f}{\partial \sigma_{mn}} \frac{\partial f}{\partial \xi} \frac{\partial \xi}{\partial t}}{\frac{\partial f}{\partial \sigma_{pq}} D_{pqst}^{e} \frac{\partial f}{\partial \sigma_{st}} + h} \end{split}$$

となる。 D_{iikl}^e は弾性テンソルである。

塑性ひずみが発現する状態($|\dot{\epsilon}_{ij}P| \neq 0$,式(2)の $d\lambda$ >0)で,塑性エネルギ率 $\dot{\sigma}_{ij}\dot{\epsilon}_{ij}P$ が正であれば「硬化」,0であれば「完全塑性」,負であれば「軟化」と分類できる 2 。特に,式(1)において,応力 σ_{ij} を有効応力 σ_{ij} に書き直して,

$$\vec{f}(\sigma_{ij}') = MD \ln \frac{p'}{p_0'} + D\eta^*,$$

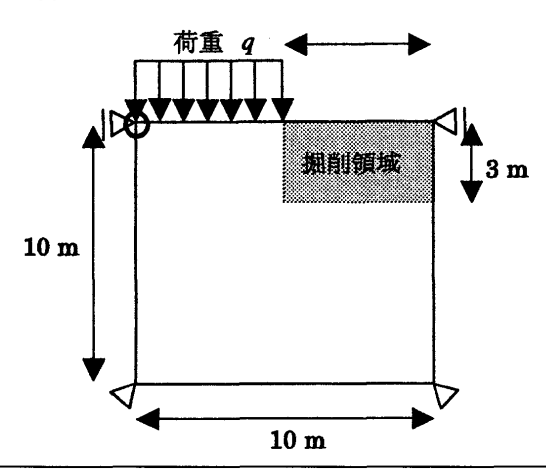
$$\xi(\varepsilon_{ij}^p, T) = \alpha \ln \left[\frac{t_p}{t} \left\{ \exp \left(\frac{\varepsilon_v^n}{\alpha} \right) - 1 \right\} \right], (t, t_p > 0)$$
.....(6)

とすると,関ロ・太田による弾粘塑性モデルの応力ひずみ関係 3)が導かれる。ここに,p' は有効平均応力, ϵ_v P は粘塑性体積ひずみ,M は限界応力比,D はダイレタンシー係数, α は二次圧密係数, t_p は粘塑性発現の基準となる時間である。

4. 載荷を受ける地盤変形

施工に伴う荷重履歴が、地盤応答にどのような影響を与えるかを例示するため、先行上載圧 $\sigma_{vo}{}'=98\,(\mathrm{kPa})$ の飽和正規圧密粘土地盤に、載荷 $q=58.8\,(\mathrm{kPa})$ と掘削除 荷 $(\gamma_t=19.6\,\mathrm{kN/m^3})$ を行う問題を考える(図一

論 文



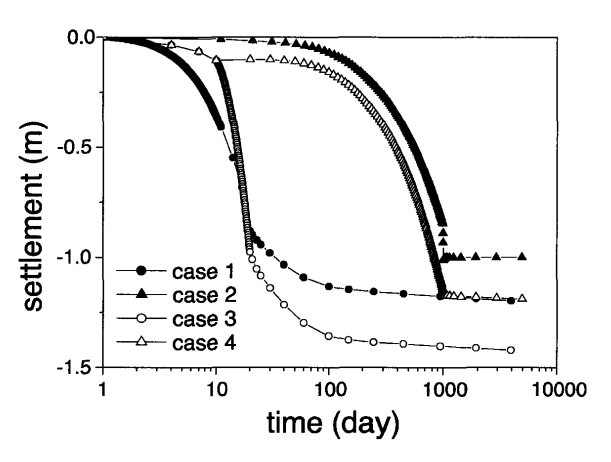
 $\Lambda = 0.57$, D = 0.53, M = 1.0, v = 0.33, $\alpha = 0.0005$, $t_p = 5 \times 10^3 \text{(min)}$, $K_0 = 0.5$, OCR = 1, $k = 10^{-5}$ (cm/sec)

図-3 仮想地盤への載荷と掘削

表-1 解析のケース

ケース	施工順序
case 1	載荷(10 days) → 掘削(9 days) → 放置
	$\dot{q} = 5.88 (\text{kPa/day})$ 0.33 (m/day)
case 2	載荷(1000 days) → 掘削(9 days) → 放置
	$\dot{q} = 0.0588 (\text{kPa/day}) 0.33 (\text{m/day})$
case 3	掘削(9 days) → 載荷(10 days) → 放置
	$0.33 (\text{m/day})$ $\dot{q} = 5.88 (\text{kPa/day})$
case 4	掘削(9 days) → 載荷(1000 days) → 放置
F	$0.33 (\text{m/day})$ $\dot{q} = 0.0588 (\text{kPa/day})$

3)。ただし、最終的な載荷と掘削の量は同じとするが、 載荷と掘削の順序および載荷の速度を、表-1のように 変えてみた。計算には、微小変形弾粘塑性土/水連成有 限要素解析コード(DACSAR 4)を用い、地盤は弾粘 塑性体 3 とし、その材料定数は図-3中に示すとおりで



図一4 沈下-時間関係

ある。また地表面および掘削面からのみ排水を許している。

図―3中の地表面端点位置(図中の〇印)の沈下を比較したのが、図―4である。荷重・変位履歴による最終形状が同じであっても、載荷速度の違いのよる⁵⁾のはもちろん、施工順序の違いによって最終沈下量が大きく異なることがわかる。

参考文献

- 1) 飯塚 敦:塑性論的粘塑性論による関口・太田モデルの 解釈,第34回地盤工学研究発表会講演集,地盤工学会, pp. 595~596, 1999.
- 2) 橋口公一:最新弾塑性学,朝倉書店, p. 74, 1990.
- Sekiguchi, H. and Ohta, H.: Induced anisotropy and time dependency of clay, Proc. Specialty Session 9th Int. Conf. of Soil Mechanics and Foundation Engineering, pp. 229~239, 1977.
- Iizuka, A. and Ohta, H.: A determination procedure of input parameter in elasto-plastic finite element analysis, Soils and Foundations, Vol. 27, No. 3, pp. 71~87, 1987.
- 5) 浅岡 顕:地盤工学入門 第4章「落ち着かぬ大地一地盤の強さと沈下一」,地盤工学会,pp. 103~131, 2000.

(原稿受理 2002.5.13)